

## Seifert circles for surface braids

大阪市立大学理学部・学振特別研究員  
鎌田 聖一 (Seiichi Kamada)

$R^3$ 内の有向結び目・絡み目に對し、その Seifert 曲面を構成する方法として Seifert のアルゴリズムが知られています。 $R^4$ 内の有向閉曲面に対する Seifert 多様体の構成法は、例えば河内-波谷-鈴木[5]による motion picture method を用いたものがある。最近 Carter-斎藤[1]は  $R^4$ 内の有向閉曲面に對し、Seifert のアルゴリズムに類似した Seifert 多様体の構成法を与えた。我々は  $R^4$ 内の閉2次元ブレイドに対して、Seifert 多様体を構成する方法を与える。 $R^4$ 内の有向閉曲面は常に閉2次元ブレイドに変形できる[3]ので、これは  $R^4$ 内の有向閉曲面に對してその Seifert 多様体を構成する一つの方法である。

2次元ブレイドはチャートにより表わされるが、我々はこのチャートを用いて Seifert 多様体をハンドル分解により与える。

注意。Carter-齊藤の構成法もその Seifert 多様体にある意味でハンドル分解を与えているが、それは虫食い穴のあるハンドル体に 1-ハンドルと 2-ハンドルを接着する形式となっている。しかし、彼らの方法は与えられた  $R^4$  内の有向閉曲面に直接（ただし、それが  $R^3$  への正則な射影を与える時）に適用できるという長所がある。我々の構成法は彼らの方法の特殊なケースとして解釈できることを注意する。

チャート及びそれが表わす 2 次元ブレイド の定義は [2] [4] を参照。

構成法を述べる前にそこで用いられる用語の説明をする。

$F$  を 4 次元多様体  $W$  内に埋め込まれた有向曲面とする。 $h$  を  $W$  に埋め込まれた 3 次元球又はツリッドトーラスで、 $F \cap h = F \cap 2h$  かつ次の(1)(2)(3)のいずれかを満たすとき、 $h$  は  $F$  に 1-ハンドル ((1)のとき), 2-ハンドル ((2)のとき), ラウンドハンドル ((3)のとき) として接着しているという。

- (1)  $h$  は 3 次元球で  $F \cap h$  は  $h$  上の 2 枚の 2 次元球である。
- (2)  $h$  は 3 次元球で  $F \cap h$  は  $h$  上の 1 枚の アニュラスである。

(3)  $h$  はソリッドトーラス  $S^1 \times I \times I$  で,  $F \cap h$  は  $S^1 \times I \times \partial I$  である。

$W$  内の曲面  $F' = cl(F \cup \partial h - F \cap h)$  を  $F$  から  $h$  に沿って手術して得られた曲面という。①及び③のとき  $F'$  は向きつけ不可能となる場合もあるが、ここでは向きつけ可能となる場合のみを考え、 $F'$  には  $F$  より誘導される向きを入れる。

$M$  を有向3次元多様体とする。 $M_0$  を  $M$  内の有向3次元多様体とし、 $\partial M_0 = F$  とする。 $M_0$  の向きが  $M$  の向きに一致し、 $cl(M - M_0) = h$  が3次元球又はソリッドトーラスで上の①②③のいずれかを満たすとき、 $h$  は  $M_0$  に接着する1ハンドル(①のとき)、2ハンドル(②のとき)、ラウンドハンドル(③のとき)であると呼ばれ、 $M$  は  $M_0$  に  $h$  を接着して得られた多様体であるといふ。

$M$  を  $M_0$  にラウンドハンドルを一つ接着して得られた多様体とするとき、 $M$  は  $M_0$  に1ハンドルを一つ接着し、その後2ハンドルを一つ接着して得られる。

$m$  を自然数とする。 $B^2 = \{(x, y) \in \mathbb{R}^2 \mid 0 \leq x \leq m+1, -1 \leq y \leq 1\}$  とし、点  $z_i = (i, 0) \in \mathbb{R}^2$ 、点  $\bar{z}_i = (i, -1) \in \mathbb{R}^2$  ( $i=1, 2, \dots, m$ ) とする。 $A_i$  を  $z_i$  と  $\bar{z}_i$  を結ぶ線分  $\{(x, y) \in \mathbb{R}^2 \mid x=i, -1 \leq y \leq 0\}$ 、 $A = A_1 \cup A_2 \cup \dots \cup A_m$ 、 $X_m = \{z_1, \dots, z_m\}$ 、 $\bar{X}_m =$

$\{\bar{z}_1, \dots, \bar{z}_m\}$ ,  $D^2 = \{(w, t) \in \mathbb{R}^2 \mid 0 \leq w \leq 1, 0 \leq t \leq 1\}$  とする。

$F$  を  $B^2 \times D^2$  内の 2 次元 "ブレイド" とする。定義より  $\partial D^2$  上の各点  $p$  に対し,  $F \cap B^2 \times \{p\} = X_m \times \{p\}$  が成立する。さて,  $B^2 \times D^2$  内の閉曲面  $\hat{F}$  を次の様に定める。

$$\hat{F} = F \cup \bar{X}_m \times (\text{int } D^2) \cup A \times \partial D^2.$$

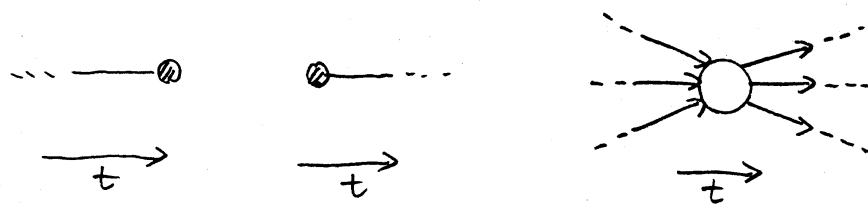
$\hat{F}$  に  $F$  から誘導される向きを入れる。

補題 1  $B^2 \times D^2$  を  $\mathbb{R}^4$  内へ埋め込んだとき,  $\hat{F}$  は  $F$  の closure に  $\mathbb{R}^4$  内でアンビエントアイソトピックである。

証明は省略する。

我々は上の  $\hat{F}$  が張る 3 次元多様体を  $B^2 \times D^2$  の中に構成する。

$F$  を表わすチャートを  $\Gamma$  とする。 $\Gamma$  を  $D^2$  内のアンビエントアイソトピーにより 7 座標に関して  $\Gamma$  は "モース的" であるとする。すなわち,  $p_2 : \mathbb{R}^2 \rightarrow \mathbb{R}$  を  $p_2(w, t) = t$  とし,  $p_2$  の  $\Gamma$  への制限を考えるとき, これが  $\Gamma$  の頂点以外 (1 次元多様体) では普通の意味でのモース関数であり、頂点の近傍では次の様であるとする。



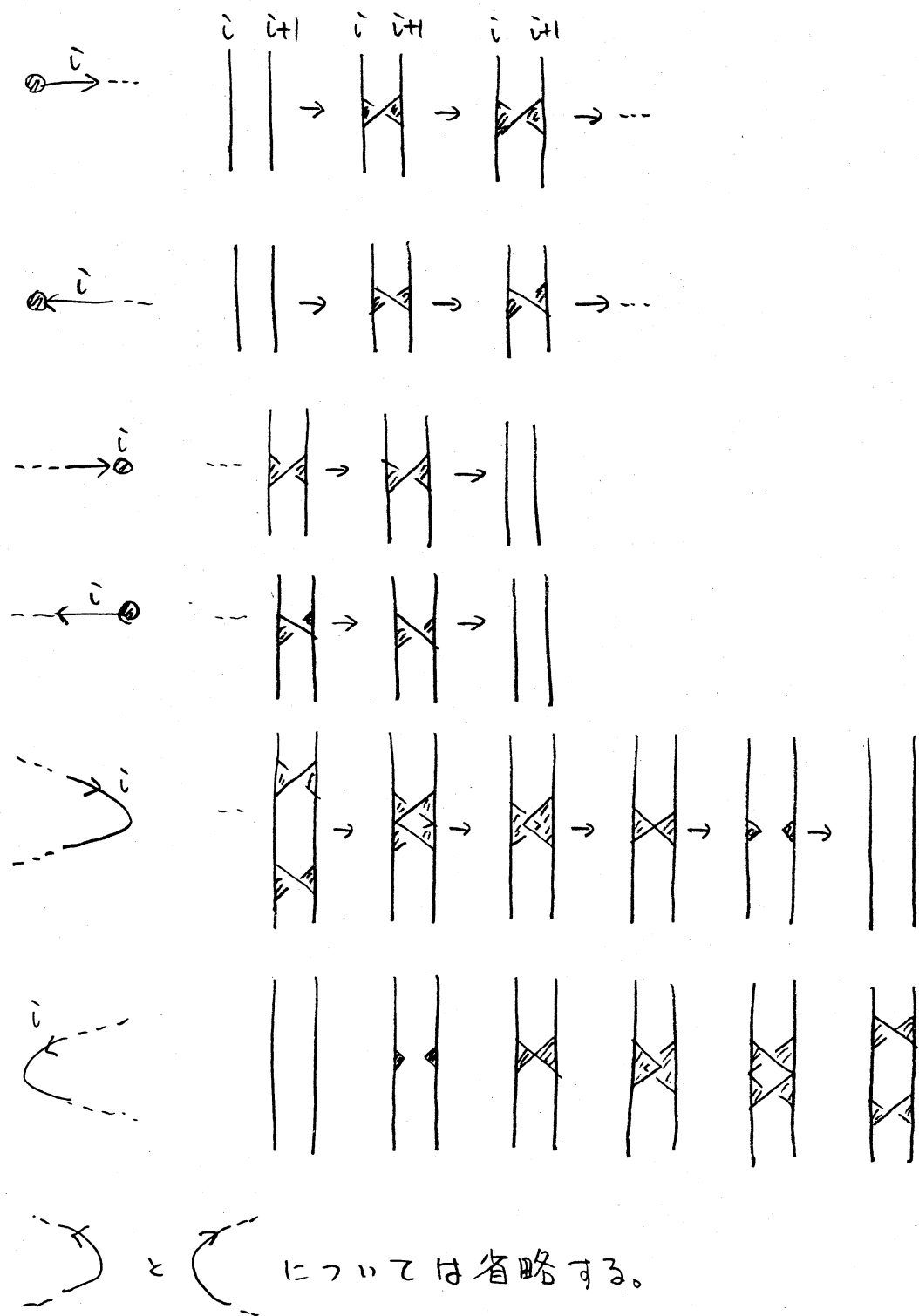
Case 1  $\Gamma$  が空のとき。この時  $F$  は自明な 2 次元ブレイド  $X_m \times D^2$  である。

$$\begin{aligned}\partial(A \times D^2) &= \partial A \times D^2 \cup A \times \partial D^2 \\ &= X_m \times D^2 \cup \overline{X_m} \times D^2 \cup A \times \partial D^2 \\ &= F\end{aligned}$$

であるから、 $M_1 = A \times D^2$  が求める 3 次元多様体である。  
( $M_1$  は  $m$  個の 3 次元球に同相。)

Case 2  $\Gamma$  が ribbon ( $\Gamma$  は free edge と loop のみから成る) のとき。

$F$  は自明な 2 次元ブレイド  $F_1 = X_m \times D^2$  に 1-ハンドルとラウンドハンドルをいくつも接着し、それに沿って  $F_1$  を手術することにより得られる。ここで用いる各 1-ハンドルは free edge に、各ラウンドハンドルは loop に対応して次の様に構成される。



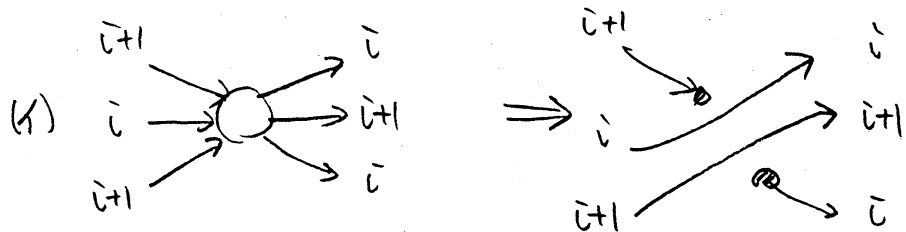
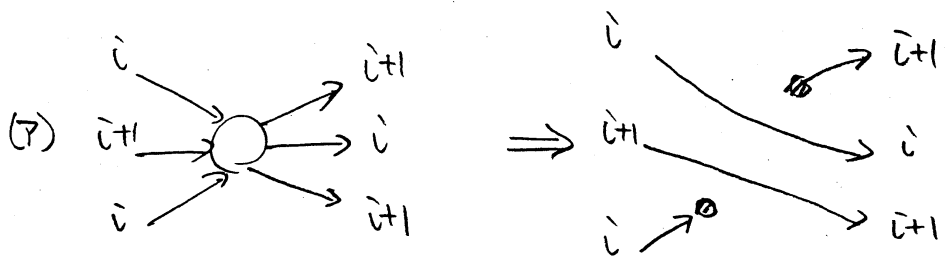
については省略する。

$M_1$  を Case 1 の 3 次元多様体  $A \times D^2$  とし、  $h_1^!, \dots, h_s^!$  を上の様に構成された free edge に対応する 1-ハンドルとし、  $r_1, \dots, r_t$  を loop に対応する ラウンド 1-ハンドルとする。  
 ここで  $s$  は  $\Gamma$  の free edge の数、  $t$  は loop の数である。

$M_2 = M_1 \cup \bigcup_{i=1}^s h_i^! \cup \bigcup_{j=1}^t r_j$  が求める 3 次元多様体である。

Case 3 一般の場合。 $\Gamma$  は白の頂点をいくつも持つ。

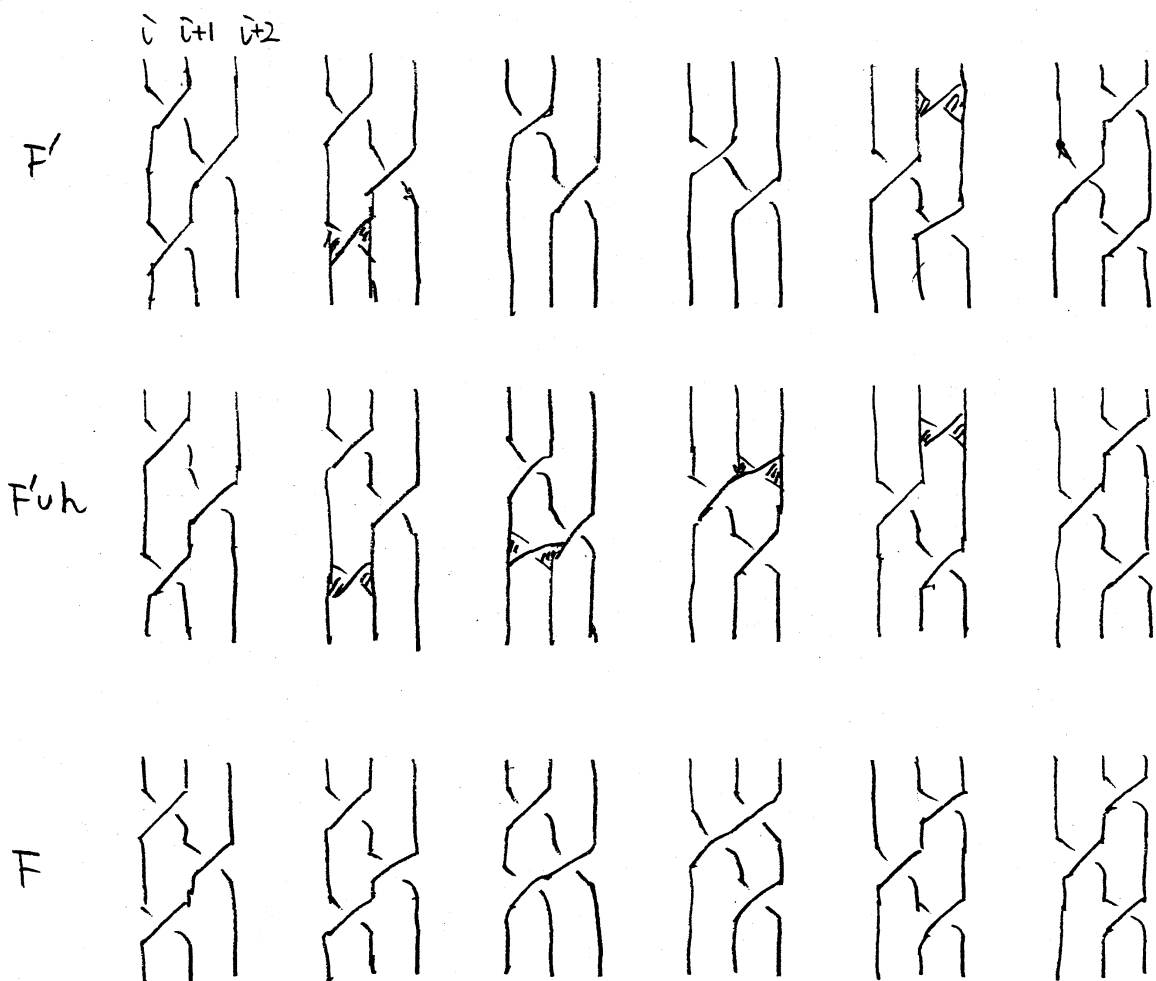
各自の頂点を次の様に置き直して得られたチャートを  $\Gamma'$  とする。  
 ( $\Gamma'$  は白の頂点を持たない、すなはち ribbon である。)



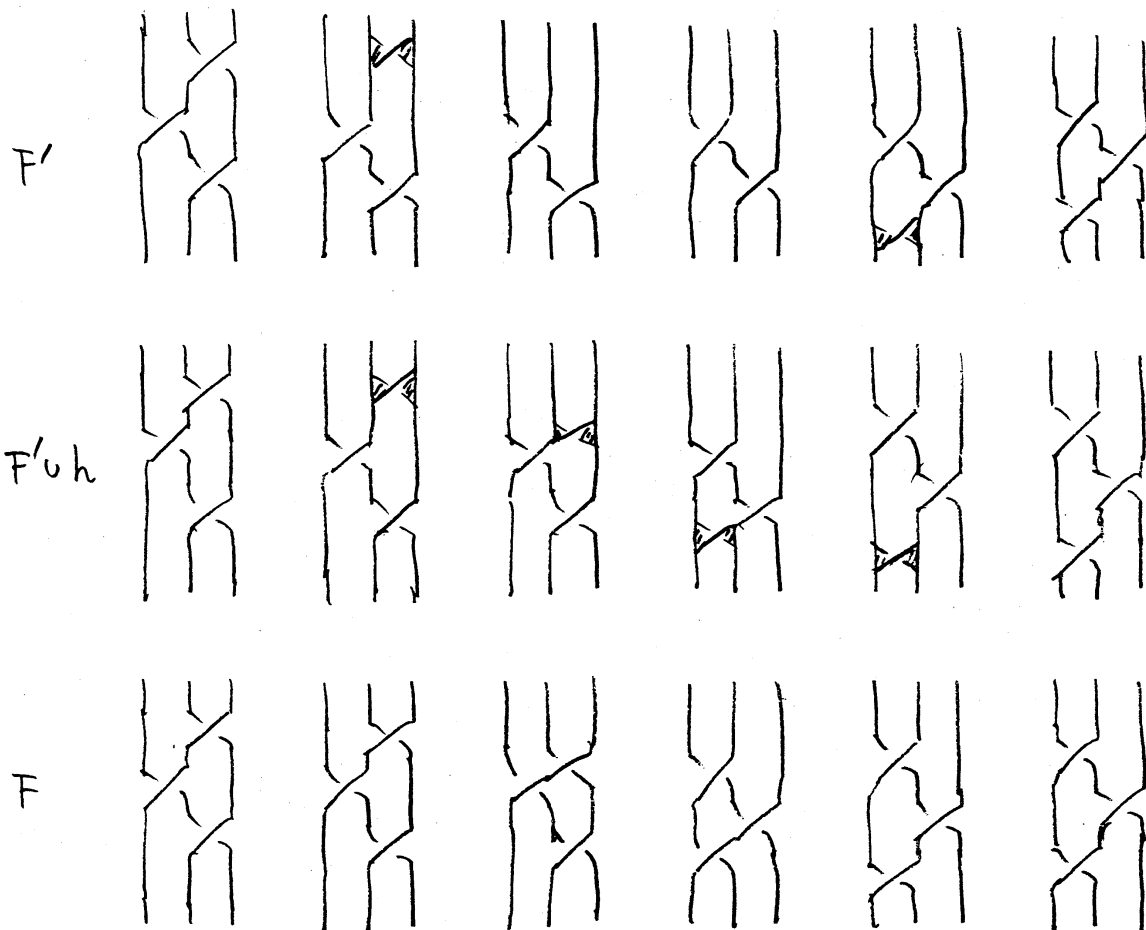
$\Gamma'$  が表わす 2 次元ブレイドを  $F'$  とする。 $\Gamma'$  に対して Case 2 の様に  $\hat{F}'$  が張る 3 次元多様体  $M_2$  を構成せよ。

さて、 $F$ は $F'$ に自の頂点に対応する位置に次のように2-ハニカル  
んを接着して手術することにより得られる。

(ア) の場合。



(1) の場合。



この 2-ハンドル は  $M_2$  に対し 2-ハンドルとして  
接着していることに注意せよ。

$h_1^2, \dots, h_n^2$  をこれら 2-ハンドル とする。ここで  $i$  は  
アの頂点の数である。

$$M_3 = M_2 \cup \bigcup_{k=1}^n h_k^2$$

が求める 3 次元多様体である。

この構成法により次が示された。

定理  $\Delta$ を2次元ブレイド  $F$ を表わすチャートとする。

Case 3の様に  $\Delta$ から白の頂点をとり除いて得られるチャートを  $\Delta'$  とせよ。  $s$  を  $\Delta'$  の free edge の数、  $t$  を  $\Delta'$  の loop の数、  $u$  を  $\Delta$  の白の頂点の数とするとき、  $F$  は次の分解を持つ3次元多様体  $M$  を  $B^2 \times D^2$  内に張ることができる。

$$M \cong (m \text{ 個の } 0\text{-ハンドル}) \cup (s \text{ 個の } 1\text{-ハンドル}) \cup (t \text{ 個のラウンドハンドル}) \cup (u \text{ 個の } 2\text{-ハンドル})。$$

## 参考文献

- [1] J. S. Carter and M. Saito, A Seifert algorithm for knotted surfaces, preprint.
- [2] S. Kamada, Surfaces in  $\mathbb{R}^4$  of braid index three are ribbon, Journal of Knot Theory and Its Ramifications, 1 (1992) 137–160.
- [3] S. Kamada, A characterization of groups of closed orientable surfaces in 4-space, preprint.
- [4] S. Kamada, 2-dimensional braids and chart descriptions, preprint.
- [5] A. Kawauchi, T. Shibuya and S. Suzuki, Descriptions on surfaces in four-space, II, Math. Sem. Notes, Kobe Univ. 11 (1983) 31–69.